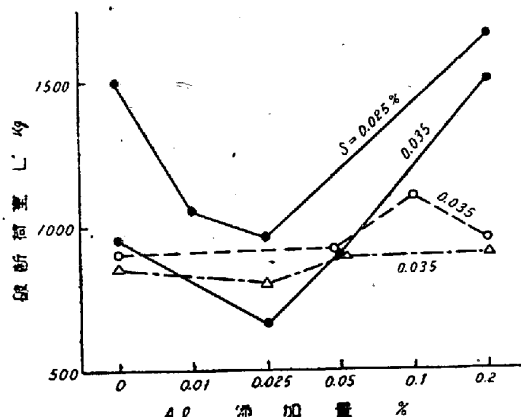


Sが多量存在するときの Al の影響はやゝ複雑で、微量の Al は反つて割れを多くし、多量の Al は割れを少くすることが Phillips<sup>4)</sup> や Middleton 及び Protheroe<sup>2)</sup> によつて報告されて居る。この点を確認するため S を添加して S を 0.025~0.040% とした鋼につき 0.2% Al 迄の Al 脱酸の影響を実験した。その結果は第3 図に示す様にかなり不齊一ではあるが 0.025% Al の附近で  $L''$  は最も低くなり、0.1~0.2% Al に至れば無脱酸の場合より  $L''$  が高くなる傾向が見られる。



第3図 高S鋼に於ける Al 脱酸の影響

#### IV. 総 括

新試験方法によつて実験した結果、S, P, Cu 及び合金としての Al が高温割れに及ぼす影響は従来の結果とよく一致するものが得られた。脱酸剤としての少量の Al の影響は、S の低い鋼に於いては極めて不齊で何かの第 3 成分の影響が予想されるが、S が 0.025~0.040% の高 S の鋼に於いては Phillips, Middleton 等が認めた様な特異な Al の影響が認められる。

#### 文 献

- 1) 木下禾大, 本誌, 29, No.8, 1943, 699, Ibid, No.12, 908
- 2) J. M. Middleton, H. T. Protheroe, J. I. St. Inst., 1951, 168, No.4, 384
- 3) 本 號 p.....
- 4) W. J. Phillips, Foundry, 1940, 67, No. 7 27.

#### (47) T 級珪素鋼板新製品について

On the T Class Si-Steel Sheets, New Products of Yawata Iron Works

八幡技術研究所 理○高橋 賢司

吉野剛治・安成孝

当社におきましては、米国アームコ社との技術提携による珪素鋼板の製造を昭和 27 年 11 月より開始してお

るが、本報告はこの珪素鋼板の諸特性を詳細に調べ、従来の我が国製品と比較検討したもので、材質の調査はあるゆる点に亘つて行つて居るが、主として珪素鋼板の最も重要な性質である磁気的性質と、新珪素鋼板の一つの特徴である表面絶縁被覆について調べた結果を報告する。

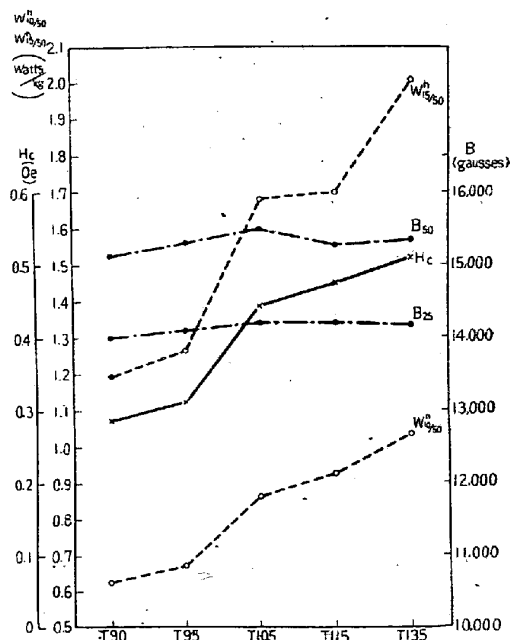
#### I. 一般機械的性質

試料は厚さ 0.35 精の薄板であるので、正確に抗張力等を求めるのは困難である。JIS に従い、第 6 号試験片を用いての抗張試験結果は、抗張力は大体  $55 \text{ kg/mm}^2$  程度の値を示し、延伸率は数%程度である。又硬度はロックウェル B スケールで大体 93 前後で、従来の我が国製品と大差ない。

#### II. 磁 気 的 性 質

珪素鋼板の最も重要な性質は、その磁気的性質であるのは言を俟たない。

磁気的性質の測定はすべて横河製鉄板試験装置によつた。試片の大きさは  $3 \times 20 \text{ cm}$ 、試料は当所製珪素鋼板各等級のものより無作意採集した。この結果を第 1 図に示す。図中  $W_{10}^{n_10}$ ,  $W_{15}^{n_15}$  は夫々最大磁束密度 10,000 ガウスの時のヒステレシス損、 $H_c^{10}$  は最大磁束密度 10,000 ガウスの時の抗磁力を表わす。



第 1 圖

- 1) 抗磁力 T135 級の抗磁力  $H_c^{10}$  は大体  $0.5 \text{ Oe}$  前後であるが、T115 では  $0.475 \text{ Oe}$ , T95, T90 では  $0.3 \text{ Oe}$  程度にて、中には  $0.220 \text{ Oe}$  程度のものもあり、従来

の我が国珪素鋼板に比して、はるかに減少している。これは材質が磁気的に非常に改善されている一つの有力な証拠である。

### 2) ヒステリシス損

$W_{10/50}^h$  は従来我が國の製品では  $1.0 \text{ Watts/kg}$  程度以上であるが、当所製 T115 では  $0.95 \text{ Watts/kg}$  であり。T90, T95 では  $0.6$  乃至  $0.7 \text{ Watts/kg}$  を示し、非常に良好である。これらの全鉄損は表示の如く、夫々  $0.90 \text{ Watts/kg}$ ,  $0.95 \text{ Watts/kg}$  以下で、従来我が國製品の最上級 T120 ( $1.20 \text{ Watts/kg}$ ) に比し、 $20\sim25\%$  程度低い。中には  $W_{10/50}^h = 0.50 \text{ Watts/kg}$  のものもあり、我が国においては従来全くその比を見ないものである。因みに ARMCO の最上級 TRAN-COR 6 は  $H_c = 0.221 \text{ Oe}$ ,  $W_{10/50}^h = 0.479 \text{ Watts/kg}$ , TRAN-COR 4 は  $H_c = 2.77 \text{ Oe}$ ,  $W_{10/50}^h = 0.565 \text{ Watts/kg}$  である。

最大磁束密度  $15,000$  ガウスにおけるヒステリシス損  $W_{15/50}^h$  は、第1図に見る如く、T135 は大体  $2 \text{ Watts/kg}$  程度の値を有するが、T115 では  $1.7 \text{ Watts/kg}$ , T95, T90 に至つては実に  $1.2\sim2.0 \text{ Watts/kg}$  程度の値を示し  $W_{15/50}^h$  は T135 の  $2.5\sim2.6 \text{ Watts/kg}$  にたいして  $2.0 \text{ Watts/kg}$  程度であり、従来我が國珪素鋼板に比し、はるかに優秀な特性を有する。

### 3) 湧流損

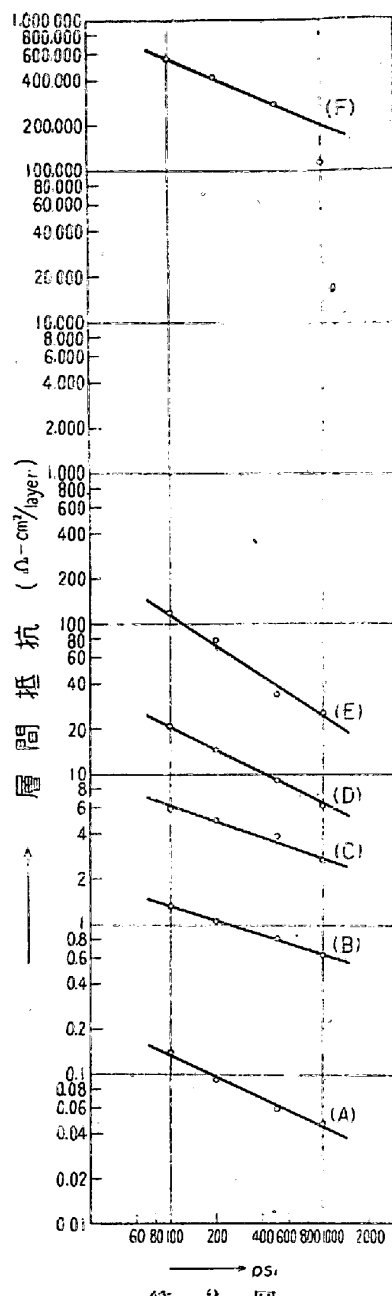
上述ヒステリシス損と別にエプスタイン試験器にて測定せる全鉄損との差より、湧流損を求めるとき、湧流損は  $W_{10/50}^h$  では略  $0.2 \text{ Watts/kg}$  となり、 $W_{15/50}^h$  では略  $0.1 \text{ Watts/kg}$  となる。湧流損は後に述べる如く、表面の絶縁抵抗の如何で相当左右される可能性があり、板によつては  $W_{10/50}^h$  で  $0.3 \text{ Watts/kg}$  程度、 $W_{15/50}^h$  で  $0.7 \text{ Watts/kg}$  位の値を示すものもあるが、大体全鉄損値の  $20\%$  程度を湧流損は占めている。

## III. 表面絶縁被覆について

珪素鋼板は一枚で使用することなく、一般に積層して使用する。もし表面に何等特別な絶縁性被覆がなければ積層した場合あたかも鉄心は 1 ブロックの如く磁気的に作用し、鋼板の材質が磁気的にいくら優秀であつても、鉄心全体の湧流損はこのために急激に増大し、従つて、全鉄損の増大を來す。このため表面に絶縁抵抗をもつ被覆を施すことが必要で、従来我が国においては、使用の際適当にワニス処理等をしてこれをさけて来た。

今回の八幡珪素鋼板には、アームコ社の特許になるカーライトコートを施してある。

第2図は種々の表面絶縁被覆を施したもののは絶縁抵抗値である。絶縁抵抗測定は A.S.T.M. 法に従い行つた。



第2図

即ち試片の大きさは  $3 \times 28$  種、40枚、圧力は  $100 \text{ lb/in}$ ,  $200 \text{ lb/in}^2$ ,  $500 \text{ lb/in}^2$ ,  $1000 \text{ lb/in}^2$  の4点とし、抵抗値は積層試料の両端の電圧降下と標準抵抗の電圧降下とを電位差計にて夫々測定して求めた。

### 1) 層間絶縁抵抗

第2図は抵抗値と圧力を両対数目盛に図示したものである。同図より明らかな如く、カーライトコートは、従来のワニス処理、ラッカーラッカー塗布に比し格段高い層間抵抗を有し実に数十万  $\Omega \cdot \text{cm}^2/\text{layer}$  の値を呈する。又これら層間抵抗は何れも、圧力の増加と共に大体直線的に減少するが、カーライトコート等は圧力  $1000 \text{ lb/in}^2$  でも尙一万  $\Omega \cdot \text{cm}^2/\text{layer}$  以上の値を有する。

第一表

試料 符號	歪取焼鈍 歪取燒鈍	磁氣的性質		平均層間抵抗 $\Omega \cdot \text{cm}^2/\text{layer}$				備 考
		B 25	W 10/50	100psi	200psi	500psi	1000psi	
SA-21	處理前 Packed 處理 A 變化	° 13,870 ° 14,270 +400, 2.9% -0.11, 8.7%	1.26 1.15 -0.11, 8.7%	35.0 $\times 10^4$ 364 $\times 10^4$ +	16.3 $\times 10^4$ 195 $\times 10^4$ +	7.29 $\times 10^4$ 100 $\times 10^4$ +	2.10 $\times 10^4$ 33.2 $\times 10^4$ +	八カ 幡 ラ イト コ ート 板
SA-26	處理前 Packed 處理 B 變化	° 14,030 ° 14,310 +280, 20% -0.07, 60%	1.18 1.11 -0.07, 60%	71.8 $\times 14^4$ 2.74 $\times 10^4$ -	53.8 $\times 10^4$ 1.49 $\times 10^4$ --	27.2 $\times 10^4$ 0.630 $\times 10^4$ --	10.8 $\times 10^4$ 0.339 $\times 10^4$ --	八カ 幡 ラ イト コ ート 板
SA-31	處理前 Packed 處理 A 變化	14,150 14,410 +260, 1.8% -0.13, 9.9%	1.32 1.19 -0.13, 9.9%	1.59 51.2 +	1.37 35.1 +	1.17 20.9 +	0.987 11.8 +	我 國 從 來 的 製 品
SA-36	處理前 Packed 處理 B 變化	14,120 14,380 +260, 1.8% -0.14, 11%	1.32 1.18 -0.14, 11%	1.10 13.6 +	1.00 8.30 +	0.896 5.04 +	0.817 2.78 +	我 國 從 來 的 製 品
SA-22	* 處理前 處理 A 變化	° 13,970 ° 14,300 +330, 2.4% -0.06, 5.1%	1.18 1.12 -0.06, 5.1%	27.9 $\times 10^4$ 159 $\times 10^4$ +	20.6 $\times 10^4$ 120 $\times 10^4$ +	16.7 $\times 10^4$ 69.9 $\times 10^4$ +	7.67 $\times 10^4$ 38.4 $\times 10^4$ +	八カ 幡 ラ イト コ ート 板
SA-27	* 處理前 處理 B 變化	° 14,040 ° 14,460 +420, 3.0% -0.09, 7.8%	1.16 1.07 -0.09, 7.8%	96.6 $\times 10^4$ 622 $\times 10^4$ +	69.7 $\times 10^4$ 441 $\times 10^4$ +	31.1 $\times 10^4$ 216 $\times 10^4$ +	8.36 $\times 10^4$ 94.8 $\times 10^4$ +	八カ 幡 ラ イト コ ート 板
SA-32	* 處理前 處理 A 變化	14,370 14,420 +50, 0.4% -0.10, 7.3%	1.38 1.28 -0.10, 7.3%	6.13 1.75 $\times 10^4$ +	4.26 0.897 $\times 10^4$ +	2.81 0.342 $\times 10^4$ +	1.70 0.121 $\times 10^4$ +	我 國 從 來 的 製 品
SA-37	* 處理前 處理 B 變化	14,230 14,340 +110, 0.8% -0.05, 4.0%	1.24 1.19 -0.05, 4.0%	9.73 454 +	6.70 216 +	3.82 72.9 +	1.80 28.6 +	我 國 從 來 的 製 品

註 1. 處理 A: 790°C, 3h, 爐冷; 處理 B: 740°C, 3h, 爐冷

2. \* 印は制御零圧氣中で焼鈍した。

3. ○印は 3×50cm, 10kg; 其の他は 3×28cm 試料

4. 磁氣的性質變化欄中, 左の数字は處理後の變化量を, 右の数字は處理前の値にたいする比率を示す。

## 2) 漩流損との関係について

漩流損増大阻止の立場から, 層間抵抗値は [A] の場合は勿論のこと, [B] の場合も尙不充分である. [C] [D] では大体その目的を達していると思われるが, 歪取焼鈍, あるいはその後の加熱にたいして難点がある. カーライトコートは上述の如く非常に高い抵抗をもつてゐるので, この目的を充分果してゐると共に, 歪取焼鈍等の加熱によつても本質的な支障は起らない.

## 3) 層間抵抗測定について

層間抵抗の測定法は我が国においては, 一定していな  
い. 2, 3 の方法について詳しく述べた結果, 何れの

方法によつても, カーライトコート板は非常に高い抵抗をもち,  $10^4 \Omega \cdot \text{cm}^2/\text{layer}$  以下の抵抗を有することは稀である. 但しすべての測定の場合, かえりを丹念にとること, 更にこの部分にガクブチに Coating を施し, やすりのけずり屑等をきれいにぬぐうことが肝要である. 又測定電流を大にすると, 被覆の破壊が起るので, この点を考慮しなければ正確な測定値は期待出来ない. 因みに測定電流を 1A 程度にすると数  $\Omega$  の値となる.

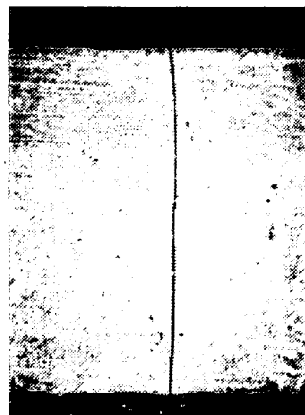
## VI. 歪取焼鈍の影響

いくら優秀な表面絶縁抵抗をもつていても, 打抜, 切

断後の歪取焼鍊により損傷を受けるようでは、支障がある。これにたいして種々検討したところ、歪取焼鍊等の加熱によつては、何等本質的な損傷を受けない、層間抵抗も依然として大なる値を示した。この結果の一例を第1表に示す。

## V. 顯微鏡組織

写真1—(1)～(2)及び—(3)はT90, T95級の新製品の金属組織を、—(4)はT120級の金属組織を示す。下掲写真に見る如く、当所製T級珪素鋼板は、結晶粒大にして、結晶粒界は直線的に細く、析出物が非常に少ない。これらは従来の我が国の珪素鋼板には未だ管つて見られない、優秀な金属組織と思われる。



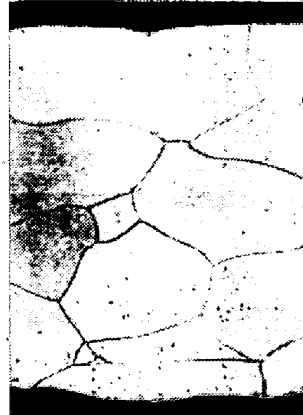
(1) T90



(2) T90



(3) T95



(4) T120

倍率：180倍、5% HNO<sub>3</sub>腐蝕  
写真1 T級珪素鋼板の金属組織

## (48) コークス爐装入炭の自動試料採取機に就いて

(On the Automatic Charging Coal-Sampler)

富士製鐵株式會社 宝蘭製鐵所 龍田光雄

### I. 概要

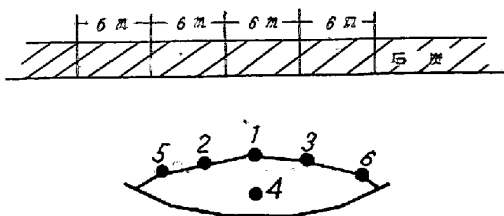
従来行つて居た装入炭の試料採取法は装入車ホッパーより、各交替番別に、その交替番に於ける装入炭を一つのロットと考え、このロットを代表すると思われる如きサンプルを採取する事をたてまえとして行われていた。しかしこのサンプリング方式に依る石炭特性（灰分揮発分、水分）の測定値の信頼性、精度、正確さを論ずる時、尙検討の余地のある事が示されよう。

かゝる観点から装入炭を移動中にサンプリングすることが考えられ、石炭塔の輸送コンベヤー上で自動的にサンプルをとる方式が考案され、この自動試料採取機を用いた方が前記装入車よりのサンプリングよりは、遙に合理的であらうとの見解が下された。

しかしながら、実際的な問題、例えばインクリメントの大さとか、採取位置による偏倚性の問題を解決するためには、実験により輸送コンベヤー上に於ける石炭特性値の分布状態とか、インクリメントの大さをたしかめておく必要がある。かゝる点より3回に亘りこの実験を行つたので、その結果について述べ、結論づけてみよう。

### II. 自動試料採取機の精度

輸送中のベルト上から、3m 間隔毎に 2~3g のインクリメントを以てサンプルを採取出来る様な構造としたこの採取機を用いて、試験を行つたのであるが、試験の対象にしたのは、甲番に輸送される石炭とし、輸送コンベヤーを1時間に1回停止し、これをA, B, C, D, とする。サンプルの採取位置及び採取箇所は第1図の通り



第1図

である。ベルトを停止したA, B, C, Dの各4回とも第1図に示される様に停止したベルトを6m間隔に切断して、採取位置としては、I, II, III, IV, Vの5つ